



## بررسی رفتار جذبی یون اورانیم از محلول آبی بر روی رزین XAD-۴ آغشته‌شده با عامل کمپلکس‌کننده اسیدی

زهرا شیری یکتا\*

پژوهشکده چرخه سوخت هسته‌ای، پژوهشگاه علوم و فنون هسته‌ای، سازمان ارزی اتمی ایران، صندوق پستی: ۱۱۳۶۵-۸۴۸۶، تهران- ایران

\*Email: zshiri@aeoi.org.ir

مقاله‌ای پژوهشی

تاریخ دریافت مقاله: ۱۴۰۲/۴/۱۰ تاریخ پذیرش مقاله: ۱۴۰۲/۵/۹

### چکیده

از مهم‌ترین آلاینده‌های پایدار و غیرقابل تجزیه فلزات سنگین هستند، که از سمی‌ترین آلاینده‌ها در محیط زیست بهشمار می‌روند. بنابراین حذف این آلاینده‌ها از اهمیت خاصی برخوردار است. اورانیم به عنوان یکی از فلزات سنگین، یک رادیونوکلئید طبیعی است که به دلیل سمتی جدی و خاصیت پرتوزایی دارای اثرات مخرب بر روی سلامت انسان و محیط زیست می‌باشد. در این پژوهش رزین آمبرلیت XAD-۴ آغشته شده با لیگاند باز شیف بیس ۲-هیدروکسی بنزاکلید (H<sub>2</sub>L) برای جذب اورانیم از محلول آبی به کار برده شد. تأثیر پارامترهای مؤثر مانند pH فاز آبی، زمان تماس، مقدار جاذب و وابستگی دمایی فرایند مورد بررسی قرار گرفتند. نتایج نشان داد که ۹۸٪ یون‌های اورانیم در شرایط بهینه pH ۵.۵، مقدار جاذب ۰.۱ گرم، زمان تماس ۶۰ دقیقه و دمای ۲۵ درجه سانتی‌گراد، یون اورانیم با غلظت اولیه ۲۰ میلی‌گرم بر لیتر از ۹۸٪ بهینه جذب می‌شود. مقایسه درصد جذب رزین آغشته‌شده با رزین آغشته‌شده با لیگاند باز شیف نشان می‌دهد که نمودار جذب یون اورانیم در مقابل pH به سمت مقادیر pH پایین‌تر (تقرباً ۱.۵ pH<sub>H</sub>) تغییر می‌کند و رفتار جذبی رزین در pH ۵.۵ با افزایش میزان جذب از ۵۲٪ به ۹۸٪ بهبود می‌یابد. داده‌های سینتیکی و جذبی به ترتیب با معادله شبه مرتبه دوم و هم‌دمای فرونالیج به خوبی مطابقت دارند. بررسی ترمودینامیکی نیز نشان داد که فرایند جذب یون مورد مطالعه بر مبنای آتریوپی است.

کلیدواژه‌ها: اورانیم، جذب، رزین XAD-۴، کمپلکس‌کننده

## Investigation of the adsorption behavior of uranium ion from aqueous solution on the impregnated XAD-4 resin with acidic complexing agent

Z. Shiri-Yekta\*

Nuclear Fuel Cycle Research School, Nuclear Science and Technology Research Institute, AEOI, P.O.Box: 11365-8486, Tehran - Iran

### Research Article

Received 1.7.2023, Accepted 31.7.2023

### Abstract

One of the most problematic persistent and non-degradable pollutants are heavy metals, which are among the most toxic pollutants in the environment. Therefore, removing these pollutants is of particular importance. Uranium, as one of the heavy metals, is a natural radionuclide that harms human health and the environment. This is due to its serious toxicity and radiation properties. In this research, Amberlite XAD-4 resin impregnated with bis-2-hydroxybenzaldehyde 1,2-diaminoethane (H<sub>2</sub>L) Schiff base ligand was used for uranium adsorption from aqueous solution. The effect of effective parameters such as aqueous phase pH, contact time, amount of adsorbent and temperature dependence on the process was investigated. The results showed that 98% of uranium ions were absorbed under the optimal conditions of pH 5.5, adsorbent amount 0.1 g, contact time 60 min. From 20 mL of aqueous solution at 25 °C, uranium ions with a concentration of 20 mg/L were quantitatively removed. Comparing the adsorption percentage of non-impregnated resin with impregnated resin with Schiff base ligand shows a shift in uptake of uranium ions vs. pH curves towards lower pH values (about ΔpH 0.51) and the adsorption behavior of the resin at pH 5.5 improves with increasing adsorption from 52% to 98%. The kinetic and adsorption data are in good agreement with the pseudo-second-order equation and Freundlich isotherm, respectively. A thermodynamic analysis also revealed that the ion adsorption process is entropy-based.

**Keywords:** Uranium, Adsorption, XAD-4 resin, Complexing



۵/۷ و ۵/۶ میلی گرم یون فلزی بر گرم رزین بود [۲۷]. در سال ۲۰۰۱ کومار و همکاران از رزین آمبرلایت-۲ عامل دار شده با کوین آلیزارین به پیش‌تغليظ اورانیم پرداختند. مقادیر pH بهینه برای حداکثر جذب یون فلزی بین ۵ تا ۷ بود. حداکثر ظرفیت جذب رزین در محدوده ۰/۹۴-۰/۲۸ میلی گرم فلز بر گرم رزین مشخص شد [۲۸]. در سال ۲۰۰۵ متیلدا و همکاران از رزین آمبرلایت-۴ آغشته شده به سوکسینیک اسید برای جداسازی یون اورانیم در حضور سایر یون‌های معدنی استفاده کردند. ظرفیت جذب رزین عامل دار شده ۱۲/۳ میلی گرم بر گرم به دست آمد. گونه‌های مختلف کاتیونی و آنیونی در مقادیر ۲۰۰ برابر در طول پیش‌تغлиظ اورانیم موجود در محلول نمونه تداخلی نداشتند. مطالعات جنبشی و ایزووترم جذب نیز برای درک ماهیت جذب اورانیم با رزین عامل دار شده با سوکسینیک اسید انجام شد [۲۹]. در سال ۲۰۱۲ از دمیر و همکارش از ژئوباسیلیوس تشییت شده بر روی رزین آمبرلایت-۴ به عنوان یک استخراج‌کننده فاز جامد برای پیش‌تغлиظ یون‌های اورانیم استفاده کردند. پارامترهای مؤثر بر پیش‌تغлиظ مانند pH محلول نمونه، غلظت اورانیم، حجم و نوع شوینده، سرعت جریان و اثر یون‌های تداخل‌کننده مورد مطالعه قرار گرفتند. pH بهینه برای جذب اورانیم ۵ بود و حداکثر ظرفیت جاذب ۱۱ میلی گرم بر گرم به دست آمد [۳۰]. در سال ۲۰۱۹ رزین XAD-۲۰۱۰ آغشته شده به آلیزارین رد-S به عنوان جاذب برای جداسازی و پیش‌تغлиظ یون‌های اورانیم و توریم توسط فوآد و همکاران به کار برده شد و بهینه‌سازی شرایط جذب و شستشوی این یون‌ها مورد مطالعه قرار گرفت. مدل ایزووترم لانگمویر بهترین برآنش داده‌های تجربی را با حداکثر ظرفیت جذب ۲۰/۲ میلی گرم بر گرم برای اورانیم و ۱۸/۲۵ میلی گرم بر گرم برای توریم داشت. فرایند سینتیک جذب یون‌های فلزی توسط جاذب سنتز شده نیز شبه درجه دوم را نشان داد [۳۱].

رزین آمبرلایت-۴ XAD به دلیل دارا بودن مساحت سطح پیژه  $m^2/g$  رزین ۹۰۰-۱۵۰ رزین مناسبی برای آغشته شدن است [۳۲]. از طرفی بازهای شیف نیز ترکیباتی هستند که به علت وجود اتم‌های دهنده الکترون در ساختارشان و توانایی در پذیرش یون‌های فلزی، به شکل گسترهای در کمپلکس شدن یون‌های فلزی مورد استفاده قرار گرفته‌اند [۳۳-۳۶]. بنابراین در این پژوهش کمپلکس‌کننده باز شیف بیس ۲-هیدروکسی بنزاالدهید ۱۰-۲-دی آمینو اتان (H<sub>2</sub>L) (شکل ۱) برای آغشته‌سازی رزین آمبرلایت XAD-۴ به کار گرفته شد تا تأثیر حضور آن در توانایی رزین جهت جذب اورانیم از محلول آبی مورد بررسی قرار گیرد.

### ۱. مقدمه

توسعه فناوری و رشد روزافزون فعالیت‌های صنعتی از یک طرف و رعایت نکردن فاکتورهای زیست محیطی از طرف دیگر سبب شده است تا طی چند دهه اخیر مقادیر بسیار بالایی از آلاینده‌ها وارد محیط زیست شوند. از مهم‌ترین آلاینده‌های پایدار و غیر قابل تجزیه فلزات سنگین هستند، که از سمتی ترین آلاینده‌ها از اهمیت خاصی برخوردار است. اورانیم یک عنصر شیمیایی با نماد U است و عدد اتمی آن ۹۲ می‌باشد. اورانیم به طور طبیعی فلزی است سخت، سنتگین و پرتوزا. اورانیم یکی از چگال‌ترین فلزات پرتوزا است که در طبیعت به صورت اکسید یا نمک‌های مخلوط در مواد معدنی (مانند اورانیت یا کارونیت) یافت می‌شود. اورانیم طبیعی شامل ۹۹٪ ایزوتوپ U<sup>۲۳۸</sup> و ۰٪ U<sup>۲۳۵</sup> است [۱]. اورانیم یک رادیونوکلئید طبیعی است که به دلیل سمیت جدی و خاصیت پرتوزایی دارای اثرات مخرب بر روی سلامت انسان و محیط زیست می‌باشد.

روش‌های مختلفی از جمله هم‌رسوبی، استخراج مایع-مایع، تبادل یون و جذب برای حذف یون‌های فلزی به کار برده می‌شود [۲-۵]. روش جذب هم‌اکتون به دلیل ویژگی‌ها و مزایای آن نسبت به سایر روش‌های ذکر شده، به طور گسترده برای جذب یون اورانیم مورد استفاده قرار می‌گیرد. به عنوان مثال می‌توان به استفاده از پوشش پلیمری [۶]، استفاده از نانوکامپوزیت مغناطیسی هیدروکسی‌آپاتیت [۷]، استفاده از جاذب هیبریدی ساخته شده برپایه استانیک تنگستومولیبدوفسفات و SBA-۱۵ کروی [۸]، نانوالیاف پلی‌استایرن‌آکریلونیتریل-پلی‌کربنات [۹] و استفاده از هیدروکسید لایه‌ای دوگانه‌ی منیزیم-آلومینیم [۱۰] اشاره کرد. روش جذب با استفاده از رزین‌ها نیز یکی از مؤثرترین روش‌ها است. رزین‌ها به دلیل انتخاب‌پذیری مناسب و پایداری مکانیکی یکی از مؤثرترین جاذب‌ها به شمار می‌روند که با اصلاح سطح آن با عوامل کمپلکس‌کننده گوناگون می‌توان حتی کارایی آن را بهبود بخشید، به عنوان مثال: XAD-۴ [۱۱-۲۱]، XAD-۷ [۲۲-۲۴]، XAD-۱۶ [۲۵] و XAD-۱۱۰ [۲۶].

با توجه به اهمیت جذب و جداسازی یون‌های اورانیم در ادامه به نمونه‌هایی از کاربرد این رزین‌ها در جذب این یون پرداخته شده است. در سال ۲۰۰۰ آمبرلایت-۲ XAD با نمک دی سدیم ۱۰-۲ دی هیدروکسی بنزن-۳-۵ دی سولفونیک اسید (Tiron) توسط کومار و همکاران عامل دار شد. رزین کیلیت حاصل، برای پیش‌تغليظ یون‌های مس، کبالت، نیکل، سرب، روی، منگنز، آهن و اورانیم استفاده شد. ظرفیت جذب رزین برای ۹ فلز به ترتیب ۱۴/۰، ۱۲/۶، ۶/۵، ۹/۵، ۱۱/۱، ۱۲/۶، ۶/۵، ۹/۵، ۱۰/۸، ۲، شماره ۴۵، دوره ۱۲۴-۱۱۵، تابستان ۱۴۰۳، ص ۱۱۵



مقطور شستشو داده شد و سپس در آون با دمای ۴۰ درجه سانتی گراد خشک گردید.

### ۲.۳ روش انجام آزمایش

به منظور بررسی خواص جذبی رزین آغشته به باز شیف، ابتدا pH محلول حاوی اورانیم با استفاده از محلول های رقیق هیدروکسید سدیم و نیتریک اسید تنظیم شد. ۰/۱ گرم از جاذب آماده شده به همراه ۲۰ میلی لیتر از محلول حاوی ۲۰ میلی گرم بر لیتر از یون های اورانیم، در دمای ۲۵ درجه سانتی گراد برای مدت ۶۰ دقیقه با سرعت ۱۵۰ دور در دقیقه در شیکر قرار داده شد. سپس غلظت یون مورد نظر در محلول با استفاده از روش ICP اندازه گیری شد و درصد جذب و ظرفیت جاذب از رابطه های زیر محاسبه گردید:

$$Up = \frac{(C_0 - C_e)}{C_0} \times 100 \quad (1)$$

$$q = C_0 - C_e \times \frac{V}{M} \quad (2)$$

که در آن  $C_0$  و  $C_e$  به ترتیب غلظت اولیه و تعادلی گونه یونی جذب شونده (میلی گرم بر لیتر) است،  $V$  حجم فاز آبی بر حسب لیتر و  $M$  جرم جاذب بر حسب گرم هستند.

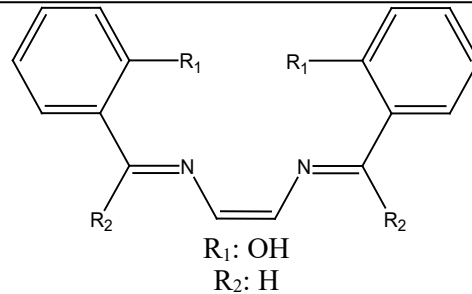
### ۴. نتایج و بحث

#### ۱.۴ شناسایی لیگاند سنتز شده و رزین آغشته شده

ساختار لیگاند باز شیف  $H_2L$  با استفاده از طیف FT-IR و پیک های مشاهده شده در عدد موجی های  $\nu_{C=C}=1578\text{ cm}^{-1}$   $\nu_{O-H}=3450\text{ cm}^{-1}$   $\nu_{C-H}=2902\text{ cm}^{-1}$   $\nu_{C=N}=1636\text{ cm}^{-1}$  شناسایی و تأیید شد [۳۸، ۳۷]. طیف FTIR مربوط به رزین آمبرلایت XAD-۴ قبل و بعد از آغشته شدن به لیگاند باز شیف  $H_2L$  در شکل ۲ نشان داده شده است. محدوده این طیف بین  $4000\text{ cm}^{-1}$  تا  $400\text{ cm}^{-1}$  می باشد. در طیف (الف) پیک های  $1594/82\text{ cm}^{-1}$   $1491/26\text{ cm}^{-1}$   $1442/99\text{ cm}^{-1}$   $1421/97\text{ cm}^{-1}$   $1416/43\text{ cm}^{-1}$  به ترتیب مربوط به ارتعاش های کششی و خمی گروه های C-H و C-H<sub>2</sub> آلیفاتیک می باشند [۳۹]. با ظاهر شدن پیک  $3200-3800\text{ cm}^{-1}$  ( $C=N$ ) در طیف (ب) حضور لیگاند در ساختار رزین تأیید گردید و نشان دهنده آغشته سازی موفق رزین توسط لیگاند باز شیف می باشد.

#### ۲.۴ بهینه سازی پارامترهای مؤثر بر فرایند جذب

عوامل مؤثر بر جذب یون اورانیم توسط رزین XAD-۴ آغشته شده با لیگاند باز شیف  $H_2L$  در کار حاضر شامل pH زمان تماس، جرم جاذب و دما می باشند. نتایج نشان داد که رزین XAD-۴ آغشته شده میزان جذب یون اورانیم را افزایش می دهد.



شکل ۱. ساختار لیگاند باز شیف بیس ۲-هیدروکسی بنزالدهید ۱۰۲-دی آمینو اتان (H<sub>2</sub>L).

### ۲. مواد شیمیایی و دستگاه ها

نمک نیترات اورانیل (UO<sub>2</sub>(NO<sub>3</sub>)<sub>2</sub>.6H<sub>2</sub>O) با خلوص تجزیه ای از شرکت مرک تهیه و محلول مادر ۱۰۰۰ میلی گرم بر لیتر اورانیم با حل کردن مقدار مشخصی از این نمک در آب دوبار تقطیر آماده شد. رزین آمبرلایت از شرکت آلدريچ، ۲-هیدروکسی بنزالدهید و اتیلن دی آمین برای سنتز لیگاند باز شیف از شرکت مرک خردباری شدند. تنظیم pH محلول با استفاده از محلول های نیتریک اسید و سدیم هیدروکسید و با pH متر (Metrohm ۸۲۷) انجام گردید. جداسازی جاذب از محلول آبی توسط سانتریفیوژ با سرعت بالا (Sigma ۳-۳۰ K) صورت گرفت. طیفسنج نشری اتمی پلاسمای جفت شده القایی (ICP) برای تعیین غلظت یون اورانیم در نمونه های آبی به کار رفت. طیفسنج مادون قمز (Bruker, model VECTOR22) FT-IR ساختار جاذب مورد استفاده قرار گرفت.

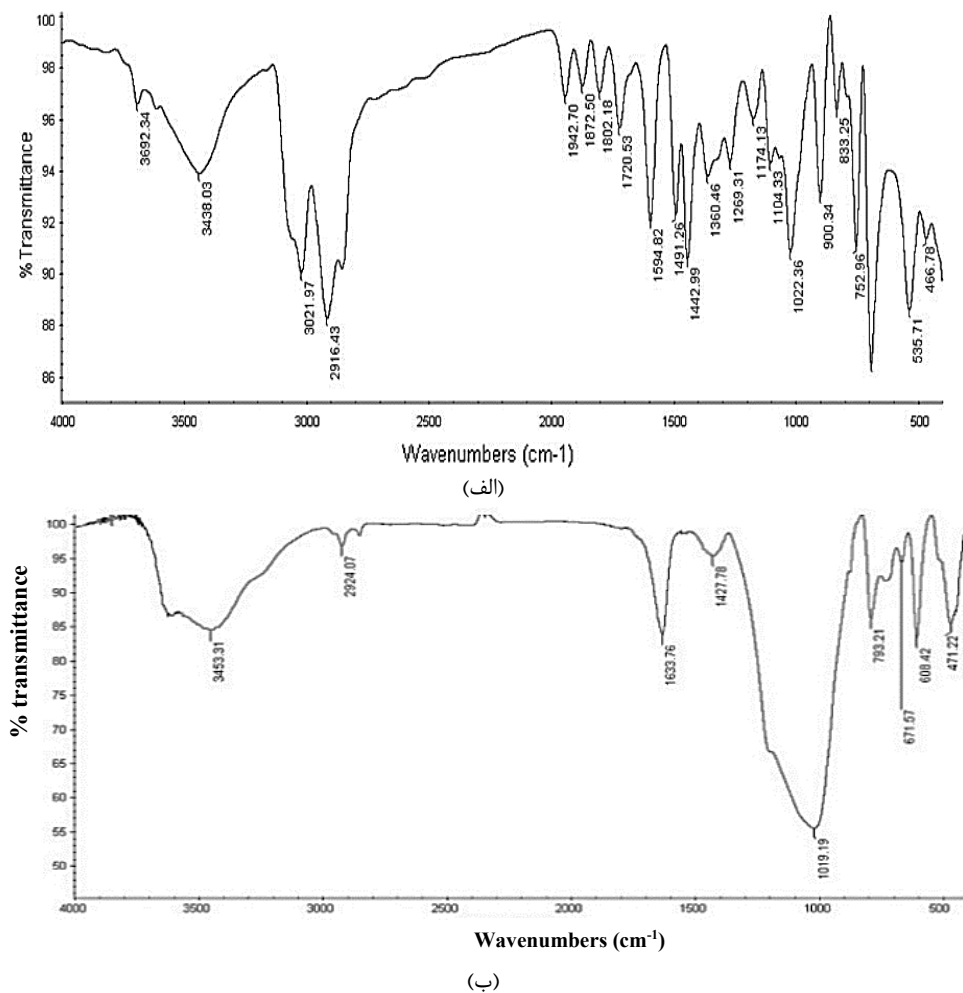
### ۳. روش کار

#### ۱.۳ آماده سازی رزین آمبرلایت XAD-۴ آغشته شده

برای سنتز لیگاند باز شیف بیس ۲-هیدروکسی بنزالدهید ۱۰۲-دی آمینو اتان (H<sub>2</sub>L) طبق روش گزارش شده [۳۷]، ۲-هیدروکسی بنزالدهید (۱/۲۳ گرم، ۰/۰۱ مول) در محلول اتانول (۳۰ میلی لیتر) با اتیلن دی آمین (۰/۳۹ گرم، ۰/۰۰۵ مول) به مدت ۲ ساعت رفلaks شد. سپس حلال تبخیر و رسوب زرد به دست آمد. ترکیب جامد تهنشین شده فیلتر شد، چندین بار با اتانول و آب شستشو داده شد تا هر گونه اثری از مواد اولیه واکنش نداده حذف گردد.

جهت حذف ناخالصی ها و باز کردن خلل و فرج داخل رزین جهت مطلوب شدن فرایند آغشته سازی، ابتدا رزین چندین بار با متانول و آب مقطور شستشو داده شد و سپس به مدت ۲۴ ساعت در دمای ۵۰ درجه سانتی گراد در آون خشک شد. سپس ۴ گرم رزین با ۱ گرم از لیگاند باز شیف سنتز شده در حلال دی کلرومتان به مدت ۲۴ ساعت در دمای ۸۰ درجه سانتی گراد رفلaks و سپس بعد صاف کردن چندین بار با متانول و آب

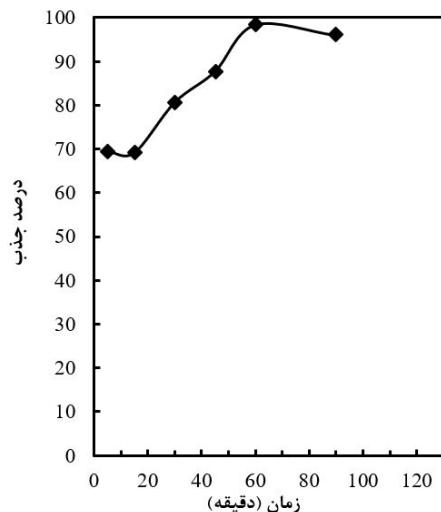


شکل ۲. طیف FT-IR، (الف) رزین XAD-۴ آغشته شده با لیگاند باز شیف  $H_4L$  [۳۹] و (ب) رزین XAD-۴ آغشته شده با لیگاند باز شیف  $H_4L$ .

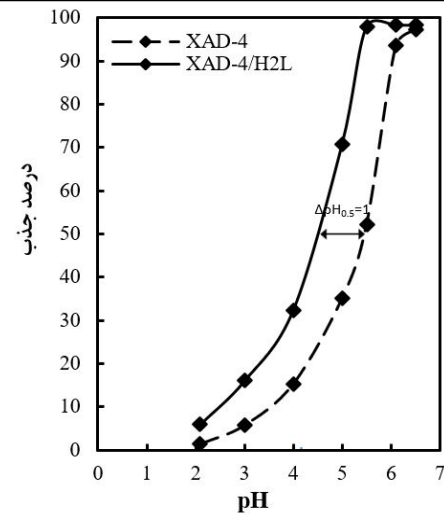
در pHهای بالا افزایش یافته و نمودار جذب به سمت pHهای اسیدی جابه‌جا شده است ( $\Delta pH_{1/2}$ ). با توجه به این که در ساختار لیگاند به کار برده شده برای آغشته‌سازی سطح رزین گروههای عاملی شامل هیدروکسیل و آمین وجود دارد، در pHهای پایین به دلیل اسیدی بودن محیط و حضور یون  $H^+$  میزان دپروتونه شدن گروههای عاملی لیگاند و همچنین اتصال یون اورانیم به لیگاند کاهش یافته و در نتیجه اختلاف درصد جذب دو جاذب کمتر می‌باشد (در  $pH^3$  افزایش میزان جذب از ۷٪ به ۱۶٪). اما در pHهای بالا به دلیل دپروتونه شدن گروههای عاملی لیگاند و وجود جفت الکترون آزاد روی اتمهای نیتروژن و اکسیژن، لیگاند برای اتصال به یون فلزی مناسب بوده و اختلاف درصد جذب دو جاذب برای یون اورانیم به طور قابل توجهی افزایش می‌باید (در  $pH^{5.5}$  افزایش میزان جذب از ۵۲٪ به ۹۸٪). با توجه به بهبود میزان کارایی جذب با آغشته‌سازی رزین توسط لیگاند بازشیف، مراحل بعدی بر روی جاذب آغشته شده انجام گرفت. بنابراین براساس نتایج حاصل از این بخش و با توجه به میزان جذب بیشتر در pHهای بالا، برای ادامه کار جاذب آغشته شده در  $pH^{5.5}$  به کار برده شد.

**۱۰.۲.۴ بررسی اثر pH**  
یکی از عوامل تعیین‌کننده در میزان قابلیت جذب سطحی، pH می‌باشد. به منظور مطالعه اثر pH میلی‌لیتر محلول حاوی غلظت اولیه ۲۰ میلی‌گرم بر لیتر از یون فلزی در گستره ۲ pH تا ۶/۵ با ۰/۱ گرم از جاذب (رزین آغشته شده و رزین آغشته شده با لیگاند بازشیف) مورد بررسی قرار گرفتند و همان‌طور که در شکل ۳ مشاهده می‌شود، جذب یون اورانیم روی هر دو رزین در محلول‌های اسیدی کاهش یافته و با افزایش pH افزایش می‌باید. بر اساس نتایج حاصل، حداکثر جذب در pHهای ۶/۵ و ۵/۵ به ترتیب برای رزین XAD-۴ آغشته شده و رزین آغشته شده با لیگاند باز شیف  $H_4L$  مشاهده شد. در pHهای پایین به دلیل افزایش اسیدیت، غلظت یون  $H^+$  افزایش یافته و با یون فلزی مورد مطالعه رقابت می‌کند. با افزایش pH میزان یون  $H^+$  در محیط کاهش می‌باید که این امر باعث افزایش میزان جذب خواهد شد [۱۱، ۴۰]. مقایسه فرایند جذب دو جاذب نشان می‌دهد که حضور لیگاند بازشیف در ساختار رزین در کارآیی جذب تأثیرگذار بوده است به طوری که اختلاف درصد جذب دو جاذب به طور قابل توجهی

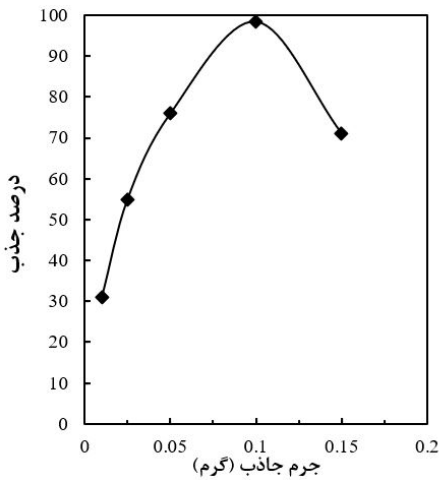




شکل ۴. اثر زمان تماس بر جذب یون اورانیم با استفاده از رزین XAD-۴ آغشته شده با لیگاند باز شیف  $H_2L$ .



شکل ۳. اثر pH بر جذب یون اورانیم از محلول آبی با استفاده از رزین XAD-۴ آغشته شده و آغشته شده با لیگاند باز شیف  $H_2L$ .



شکل ۵. اثر جرم جاذب بر جذب یون اورانیم با استفاده از رزین XAD-۴ آغشته شده با لیگاند باز شیف  $H_2L$ .

#### ۴.۰.۴ بروزی اثر دما

دما یک پارامتر مهم در فرایند جذب است. برای مشاهده تأثیر دما در سیستم مورد مطالعه، نمودار درصد جذب یون اورانیم به عنوان تابعی از دما (محدوده ۳۵-۱۰ درجه سانتی گراد) در شکل ۶ نشان داده شده است. تأثیر دما بر روی جذب یون اورانیم محلول آبی توسط جاذب XAD-۴ آغشته شده با لیگاند باز شیف  $H_2L$  در pH ۵/۵ و غلظت یون فلزی ۲۰ میلی گرم بر لیتر مورد مطالعه قرار گرفت. راندمان حذف یون اورانیم با افزایش دما از ۱۰ تا ۲۵ درجه سانتی گراد افزایش می یابد که نشان دهندهی گرمایگیر بودن فرایند جذب می باشد. دما در واقع انرژی جنبشی یون های اورانیم و تعداد برخوردهای آن ها با سطح جاذب را افزایش می دهد و دسترسی مؤثر تر و کارآمد تر به سطح جاذب را برای آن ها آسان می کند [۴۴، ۴۵]. افزایش دمای بیشتر از ۲۵ درجه سانتی گراد می تواند منجر به تغییر در ساختار لیگاند باز شیف شده و میزان جذب را کاهش دهد.

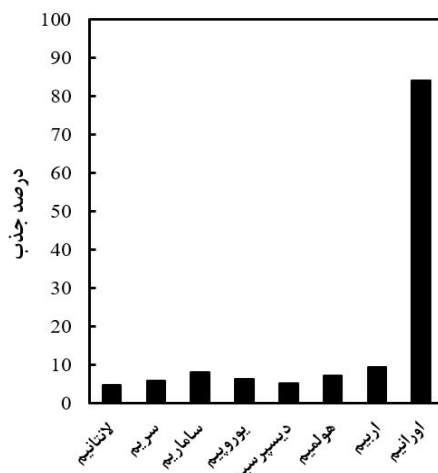
#### ۲.۰.۴ اثر زمان تماس

به منظور مطالعه اثر زمان تماس جاذب و یون اورانیم، ۲۰ میلی لیتر محلول حاوی غلظت اولیه ۲۰ میلی گرم بر لیتر از یون فلزی با pH ۵/۵ با ۰/۱ گرم از جاذب XAD-۴ آغشته شده با لیگاند باز شیف  $H_2L$  در زمان های ۵-۱۲۰ دقیقه مورد بررسی قرار گرفتند. نتایج ارائه شده در شکل ۴ نشان می دهد جذب در زمان های کوتاه ۵-۲۰ دقیقه تقریباً جذب ثابت و قابل ملاحظه ای دارد که با افزایش زمان به دلیل امکان تماس بیشتر مواد جذب شونده با جاذب وجود سایتها فعال خالی، مقدار جذب افزایش و در زمان ۶۰ دقیقه به بیشترین مقدار می رسد (۹۸%). در زمان های بالاتر با اشباع شدن جاذب از یون اورانیم فرایند جذب به تعادل می رسد. بنابراین زمان جذب بهینه برای یون اورانیم ۶۰ دقیقه انتخاب گردید [۴۱].

#### ۳.۰.۴ بروزی اثر مقدار جاذب

به منظور مطالعه اثر جاذب، مقدار ۰/۱، ۰/۰۵، ۰/۰۲۵ و ۰/۱۵ گرم از جاذب XAD-۴ آغشته شده با لیگاند باز شیف  $H_2L$  با ۲۰ میلی لیتر محلول حاوی غلظت اولیه ۲۰ میلی گرم بر لیتر از یون های فلزی در pH و زمان تماس بهینه مورد بررسی قرار گرفتند و همان طور که نتایج موجود در شکل ۵ نشان می دهد، با افزایش مقدار جاذب تا ۰/۱ گرم، تعداد مکان های در دسترس برای جذب افزایش می یابد و کارآیی جذب بالا می رود. افزایش بیشتر از ۰/۱ گرم جاذب منجر به کاهش میزان جذب می شود که می تواند به دلیل متراکم شدن جاذب و پوشانده شدن محل های اتصال و کاهش در مناطق جذبی توسط غلظت های بالای جاذب باشد [۴۲، ۴۳].

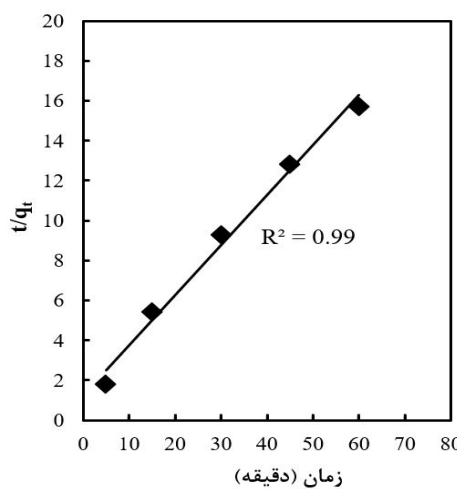




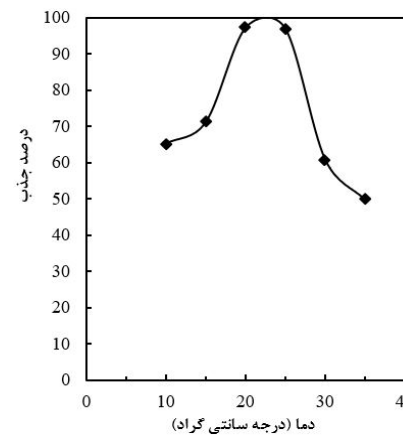
شکل ۷. بررسی اثر حضور یون‌های لانتانیدی بر جذب یون اورانیم با استفاده از رزین XAD-۴ آغشته شده با لیگاند باز شیف H<sub>2</sub>L.

جدول ۱. پارامترهای سینتیک جذب اورانیم توسط جاذب XAD-۴ آغشته شده با لیگاند باز شیف H<sub>2</sub>L

پارامترها	مدل سینتیک
K <sub>1</sub> (g/mg.min)	شبه مرتبه اول
q <sub>e</sub> (mg/g) R <sup>1</sup>	$\log(q_e - q_t) = \log(q_e) - \frac{K_1}{2,303} t$
K <sub>r</sub> (g/mg.min)	شبه مرتبه دوم
q <sub>e</sub> (mg/g) R <sup>1</sup>	$\frac{t}{q_t} = \frac{1}{K_r q_e} + \frac{1}{q_e}$
a(mg/g.min)	الویج
β(g/mg) R <sup>1</sup>	$q_t = \frac{1}{\beta} \ln(a\beta) + \frac{1}{\beta} \ln t$
a(mg/g)	تابع توان
b(mg/g.min) R <sup>1</sup>	$\log q_t = \log a + b \log t$



شکل ۸. نمودار سینتیکی شبه مرتبه دوم برای جذب یون اورانیم با استفاده از رزین XAD-۴ آغشته شده با لیگاند باز شیف H<sub>2</sub>L.



شکل ۶. اثر دما بر جذب یون اورانیم با استفاده از رزین XAD-۴ آغشته شده با لیگاند باز شیف H<sub>2</sub>L.

#### ۵.۲.۰۴ بررسی اثر یون‌های مزاحم

به منظور مطالعه اثر حضور یون‌های لانتانیدی، محلول حاوی غلظت اولیه ۲۰ میلی‌گرم بر لیتر از یون‌های فلزی لانتانیم (La)، سریم (Ce)، ساماریم (Sm)، یوروپیم (Eu)، دیسپرسیم (Dy) در حضور ۰/۱ گرم جاذب pH۵/۵ XAD-۴ آغشته شده با لیگاند باز شیف H<sub>2</sub>L در شکل ۷ مشاهده می‌شود یون اورانیم در مقایسه با سایر یون‌ها به صورت گزینشی جذب می‌شود.

#### ۳.۰۴ بررسی مدل‌های سینتیکی فرایند جذب

به منظور بررسی سینتیک فرایند جذب، داده‌های به دست آمده توسط معادلات شبه مرتبه اول، شبه مرتبه دوم، الویج وتابع توان بررسی و پارامترهای سینتیکی با توجه به نمودارهای خطی معادلات محاسبه شد (جدول ۱). نتایج بدست آمده از تجزیه و تحلیل داده‌های حاضر نشان داد که جذب اورانیم بر روی جاذب آغشته شده با ضریب همبستگی R<sup>2</sup> = ۰/۹۹ با معادله شبه مرتبه دوم به صورت زیر است:

$$\frac{t}{q_t} = \frac{1}{K_r q_e} + \frac{1}{q_e} t \quad (3)$$

که در آن  $q_e$  و  $q_t$  به ترتیب نشان‌دهنده ظرفیت جذب تعادلی و ظرفیت جذب در زمان (min) mg/g بر حسب t(min) ثابت K<sub>r</sub> سرعت مدل شبه مرتبه دوم بر حسب g/(mg.min) می‌باشد.

از آنجایی که در ساختار لیگاند باز شیف اتم‌های دهنده کترون اکسیژن و نیتروژن وجود دارند بنابراین این دو گروه عاملی محل‌های جذب غالب برای یون اورانیم هستند. بنابراین نتایج حاصل نشان می‌دهد در طی فرایند جذب، مکانیسم شامل اشتراک کترون یا انتقال کترون بین یون‌های اورانیم و گروه‌های عاملی لیگاند نشانده شده بر سطح جاذب بوده است [۴۷، ۴۶].



## ۴.۴ بررسی همدمای جذب

تصویف نحوه تعامل ماده جذب‌شونده با جاذب با استفاده از معادله‌های همدا مهم است. در این کار، سه معادله لانگمویر، فروندلیج و تمکین مورد بررسی قرار گرفتند. در همدمای لانگمویر فرض بر این است که جذب به صورت تک لایه و همگن اتفاق می‌افتد و همه مکان‌های جذب یکسان و هر سایت تنها یک مولکول یا اتم را در خود جای می‌دهد. معادله لانگمویر را می‌توان با توجه به رابطه ۴ بیان کرد:

$$\frac{C_e}{q_e} = \frac{1}{q_{max} b} + \frac{C_e}{q_{max}} \quad (4)$$

که در آن  $C_e$  غلظت تعادل یون‌های باقیمانده در محلول بر حسب  $(\text{mg/L})$ ,  $q_e$  مقدار یون‌های فلزی جذب‌شده در واحد وزن جاذب پس از تعادل  $(\text{mg/g})$ ,  $q_{max}$  ثابت لانگمویر بر حسب  $(\text{L/mg})$ , و  $b$  ثابت فروندلیج بر حسب  $(\text{mg/g})$  است. مقادیر  $q_{max}$  و  $b$  را می‌توان از شبیه و عرض از مبدأ نمودار خطی  $\log q_e / C_e$  در مقابل  $\log C_e$  به دست آورد.

همدمای فروندلیج جذب را در سطوح ناهمگن و به صورت چندلایه‌ای بیان می‌کند که با معادله ۵ بیان می‌شود:

$$\log q_e = \log K_f + \frac{1}{n} \log C_e \quad (5)$$

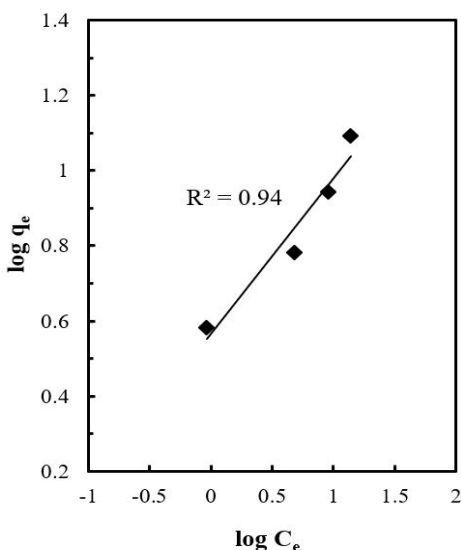
که در آن  $K_f$  ثابت ظرفیت تبادل یونی نسبی جاذب  $(\text{mg/g})$  و  $n$  ثابت فروندلیج است. این ثابت‌ها با رسم نمودار  $\log q_e$  مقابل  $\log C_e$  حاصل می‌شوند. شرایط جذب مطلوب زمانی ایجاد می‌شود که  $n > 1$  باشد.

معادله همدمای تمکین به صورت معادله زیر است:

$$q_e = \frac{RT}{b} \ln(aC_e) \quad (6)$$

که در آن  $R$  ثابت جهانی گاز  $(\text{kJ/K.mol})$ ,  $T$  دمای مطلق  $(\text{K})$ ,  $b$  ثابت تمکین مربوط به گرمای جذب  $(\text{kJ/mol})$  و  $a$  ثابت همدمای تمکین  $(\text{L/g})$  است. رسم  $q_e$  در مقابل  $\ln C_e$  به ما این امکان را می‌دهد و  $a$  و  $b$  مربوطه را ارزیابی کنیم.

جدول ۲ مقادیر پارامترهای به دست آمده از معادله‌های همدمای در مطالعه حاضر را نشان می‌دهد. از داده‌ها مشخص گردید که ضرایب همبستگی  $(R^2)$  برای همدمای لانگمویر و تمکین به ترتیب حدود  $0.85$  و  $0.94$  بوده، در حالی که برای همدمای فروندلیج  $0.94$  بوده است. شکل ۹ نمودار  $\log q_e$  در مقابل  $\log C_e$  را نشان می‌دهد. از داده‌های این نمودار آشکار است که فرایند جذب توسط مدل فروندلیج بهتر از مدل‌های دیگر توصیف شده است. بنابراین فرایند جذب یون فلزی بر روی یک سطح ناهمگن توسط جذب چند لایه رخ می‌دهد. ابتدا سایتها اتصال قوی تر اشغال می‌شود و سپس با افزایش میزان اشغال سایتها قدرت اتصال کاهش می‌یابد [۴۸، ۴۹].



شکل ۹. نمودار همدمای فروندلیج برای جذب یون اورانیم با استفاده از رزین آغشته شده با لیگاند باز شیف  $\text{H}_7\text{L}$ -XAD-۴

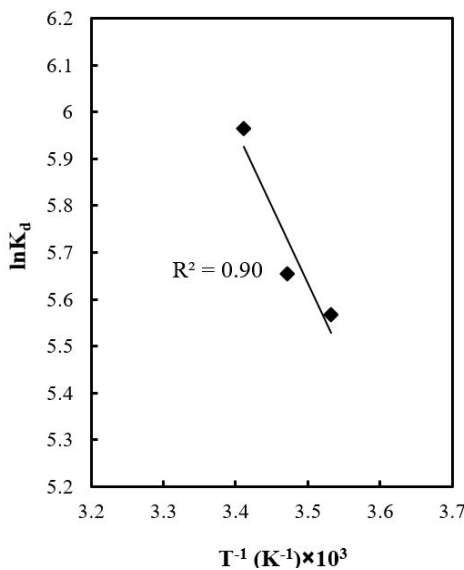
**۵.۴ مطالعه ترمودینامیک جذب**  
در فرایند جذب پارامترهای ترمودینامیکی اطلاعات مهم و کاربردی درباره خود به خودی بودن و سازوکار واکنش می‌دهند و دارای نقشی اساسی می‌باشند. برای بررسی خودی بودن یک فرایند فاکتورهای انرژی و آنتروپی بسیار حائز اهمیت بودن یک فرایند فاکتورهای انرژی و آنتروپی بسیار حائز اهمیت می‌باشد. با توجه به مقدار  $\Delta G^\circ$  می‌توان سازوکار فرایند جذب را بررسی کرد. رابطه‌ی تغییر انرژی آزاد گیبس ( $\Delta G^\circ$ ) با توجه به ثابت‌های توزیع  $K_d$  در دماهای مختلف با استفاده از معادله (۷) محاسبه می‌شود:

$$\Delta G^\circ = -RT \ln K_d \quad (7)$$

از طرفی تغییر انرژی آزاد با آنتالپی و آنتروپی ( $\Delta H^\circ$  و  $\Delta S^\circ$ ) از طریق معادله گیبس- هلمهولتز مربوط می‌شود:

$$\Delta G^\circ = \Delta H^\circ - T\Delta S^\circ \quad (8)$$





شکل ۱۰. تغییرات  $\log K_d$  بر حسب  $T^{-1}$  در جذب یون اورانیم با استفاده از جاذب XAD-۴ آغشته شده با لیگاند باز شیف  $H_2L$ .

## ۵. نتیجه‌گیری

در این مطالعه، جاذب XAD-۴ آغشته شده با لیگاند باز شیف  $H_2L$  برای بهبود جذب یون اورانیم از محلول‌های آبی بررسی شد. بررسی اثر pH با استفاده از جاذب XAD-۴ آغشته شده و جاذب XAD-۴ آغشته شده با لیگاند باز شیف  $H_2L$  نشان داد که با افزایش pH، جذب یون فلزی افزایش می‌یابد. همچنین با بهبود می‌یابد. داده‌های تجربی جذب با موفقیت با استفاده از هم‌دمای فروندلیچ برازش شدند و داده‌های سینتیکی برای مدل‌های جنبشی مختلف مورد آزمایش قرار گرفتند. بررسی‌ها نشان داد که داده‌ها تطابق بهتری با مدل شبه مرتبه دوم دارند. در بررسی ترمودینامیکی مقادیر مثبت تغییرات آنتالپی نشان دهنده گرمایشی بودند. میزان تغییرات آنتروپی در فرایند جذب مقداری مثبت به دست آمد که بیانگر بالا رفتن میزان جذب بی‌نظمی در لایه مرزی جامد و محلول است. مقایسه ظرفیت جذب جاذب موردنظر مطالعه برای یون‌های اورانیم با برخی جاذب‌های دیگر گزارش شده نشان داد که جاذب موردنظر مطالعه نسبت به جاذب‌های ذکر شده عملکردی بهتر و حتی نزدیک‌تر می‌تواند داشته است.

با ترکیب دو رابطه ۷ و ۸، معادله ۹ که نشان‌دهنده وابستگی دمایی  $K_d$  می‌باشد، به دست می‌آید:

$$\log K_d = -\frac{\Delta H^0}{2,303RT} + \frac{\Delta S^0}{2,303R} \quad (9)$$

از رسم تغییرات  $\log K_d$  به صورت تابعی از معکوس دمای مطلق ( $T^{-1}$ ) خط راستی حاصل می‌شود (شکل ۱۰) که با توجه به اطلاعات آن (عرض از مبدأ و شیب) امکان تعیین داده‌های ترمودینامیکی  $\Delta H^0(kJ/mol) = 27,39$  و  $\Delta G^0(kJ/mol) = 14,44$  و  $\Delta S^0(kJ/mol \cdot K) = 0,14$  کلین فراهم می‌شود. مقدار مثبت آنتالپی برای جذب یون اورانیم توسط این رزین نشان‌دهنده گرمایشی بودن واکنش‌های جذب و منفی بودن نشان‌دهنده آزاد گیسیس نشان‌دهنده خود به خودی بودن فرایند جذب است. به طوری که مقادیر  $\Delta G^0 = -400$  و  $\Delta H^0 = -80$  نشان‌دهنده جذب شیمیایی و مقادیر  $\Delta G^0 = 20$  و  $\Delta H^0 = 20$  مقادیر بین ۲۰-۸۰ کیلو ژول بر مول ترکیبی از جذب فیزیکی و شیمیایی است. طبق مقادیر حاصل شده در این تحقیق (کمتر از ۰) می‌توان نتیجه گرفته که فرایند جذب فیزیکی است. میزان تغییرات مثبت آنتروپی در فرایند جذب نیز بیانگر بالا رفتن میزان بی‌نظمی در لایه مرزی جامد و محلول است. لذا مقادیر آنتروپی (مثبت) نیروی حرکه فرایند جذب خواهد بود [۱۱].

۶.۴ مقایسه جاذب حاضر با برخی جاذب‌های دیگر  
ظرفیت جذب رزین XAD-۴ آغشته شده با لیگاند باز شیف در کار حاضر با برخی رزین‌های آغشته شده دیگر برای جذب یون اورانیم مقایسه گردید. نتایج حاصل نشان داد جاذب موردنظر مطالعه با حداقل ظرفیت جذب ۱۵۳۸ میلی‌گرم بر گرم نسبت به رزین آمبرلیت XAD-۲ آغشته شده با نمک دی‌سدیم او-دی‌هیدروکسی بنزن-۳-و-۵-دی‌سولفونیک اسید (Tiron) با ظرفیت جذب ۷/۷ میلی‌گرم بر گرم [۲۲]، رزین آمبرلایت XAD-۲ آغشته شده با کوین‌آلیزارین با ظرفیت جذب ۵,۲۸ میلی‌گرم بر گرم [۲۳]، رزین آمبرلایت XAD-۴ آغشته شده به سوکسینیک اسید با ظرفیت جذب ۱۲/۳ میلی‌گرم بر گرم [۲۴]، رزین آمبرلایت XAD-۴ آغشته شده با ژئوباسیلوس با ظرفیت جذب ۱۱ میلی‌گرم بر گرم [۲۵] و رزین XAD-۲۰۱۰ آغشته شده به آلیزارین رد-S با ظرفیت جذب ۲۰/۲ میلی‌گرم بر گرم [۲۶] دارای عملکردی بهتر و یا نزدیک می‌باشد.



1. Yi Z, Yao J. Kinetic and equilibrium study of uranium(VI) adsorption by *Bacillus licheniformis*. *Journal of Radioanalytical and Nuclear Chemistry*. 2012;293:907.
2. Kagaya S, Miwa S, Mizuno T, Tohd K. Rapid coprecipitation technique using yttrium hydroxide for the preconcentration and separation of trace elements in saline water prior to their ICP-AES determination. *Analytical Sciences*. 2007;23:1021.
3. Wang J, Li C, Sakanishi K, Nakazato T, Tao H, Takanohashi T, Takarada T, Saito I. Investigation of the remaining major and trace elements in clean coal generated by organic solvent extraction. *Fuel*. 2005;84:1487.
4. Tokman N, Akman S, Ozeroglu C. Determination of lead, copper and manganese by graphite furnace atomic absorption spectrometry after separation/concentration using a water-soluble polymer. *Talanta*. 2004;63:699.
5. Matsubara I, Takeda Y, Ishida K. Simple and rapid determination of trace amounts of gold (III), palladium (II), and platinum (IV) in industrial waste solutions after recovery of noble metals by combined. *Analytical Sciences*. 2003;19:1427.
6. Kholqi S, Torab Mostaedi M, Fourati Rad H. Fabrication of intelligent polymeric coating for uranium nuclear decontamination. *Journal of Nuclear Science and Technology*. 2023;102:41 [In Persian].
7. Bagherzadeh M, Saberi D. Magnetically assisted uranyl removal by using magnetic hydroxyapatite nanocomposite. *Journal of Nuclear Science and Technology*. 2022;101:103 [In Persian].
8. Aghayan H, Yavari R, Ghasemi Mottaker H, Yousefi T. Studies on the adsorption behavior of uranium onto a synthesized hybrid material based on the spherical SBA-15 and tin tungstomolybdophosphate. *Journal of Nuclear Science and Technology*. 2019;88:72 [In Persian].
9. Naderi A, Ghoreishi S.M, Firouzzare M, Almasian M.R. Production and Modification of Poly(Styrene-Acrylonitrile)-Polycarbonate Nanofibers and Evaluation of its Adsorption Behavior on Uranium in Aqueous Solutions. *Journal of Nuclear Science and Technology*. 2019;86:75 [In Persian].
10. Khodadadi Darban A, Seddighi H, Fasihi J, Koleini J. Kinetic, Thermodynamic and Adsorption Mechanism of Uranium (VI) Ions from Aqueous Solutions Using Mg/Al Layered Double Hydroxide. *Journal of Nuclear Science and Technology*. 2019;86:64 [In Persian].
11. Yarahmadi A, Zarandi M.N, Khani M.H. Investigation of effective parameters of Lanthanum and Cerium Adsorption from Aqueous solutions using Amberlit XAD-7 resin impregnated With DEHPA. *Journal of Nuclear Science and Technology*. 2022;100:103 [In Persian].
12. Shahida Sh, Ali A. Determination of europium (III) in environmental samples using a flow injection analysis system with on-line preconcentration and spectrophotometric detection. *Journal of Radioanalytical and Nuclear Chemistry*. 2014;300:423.
13. Shahida Sh, Ali A, Khan M.H. Flow injection on-line spectrophotometric determination of thorium (IV) after preconcentration on XAD-4 resin impregnated with oxytetracycline. *Journal of the Iranian Chemical Society*. 2014;11:1.
14. Khanchi A.R, Pourmatin A, Akbari N, Mojarrabi M.H, Abhari A. Investigation of the Adsorption Behavior of Strontium (II) and Yttrium (III) on the Impregnated XAD-4 Resin with HDEHP in Acidic Media. *Journal of Nuclear Science and Technology*. 2013;62:59 [In Persian].
15. Shahida Sh, Ali A, Khan M.H. On-line spectrophotometric determination of scandium after preconcentration on XAD-4 resin impregnated with nalidixic acid. *Journal of the Iranian Chemical Society*. 2013;10:461.
16. Shahida Sh, Ali A, Khan M.H, Saeed M.M. Flow injection online spectrophotometric determination of uranium after preconcentration on XAD-4 resin impregnated with nalidixic acid. *Environmental Monitoring and Assessment*. 2013;185:1613.
17. Shahida Sh, Ali A, Khan M.H, Saeed M.M. Flow injection on-line determination of uranium after preconcentration on XAD-4 resin impregnated with dibenzoylmethane. *Journal of Radioanalytical and Nuclear Chemistry*. 2011;289:929.
18. Ali A, Shahida Sh, Khan M.H, Saeed M.M. Online thorium determination after preconcentration in a minicolumn having XAD-4 resin impregnated with N-benzoylphenylhydroxylamine by FI-spectrophotometry. *Journal of Radioanalytical and Nuclear Chemistry*. 2011;288:735.
19. Saberyan K, Zolfonoun E, Shamsipur M, Salavati-Niasari M. Amberlite XAD-4 Impregnated With a New Pentadentate Schiff base: a Chelating Collector for Separation and Preconcentration of Trace Amounts of Gallium (III) and Indium (III). *Acta Chimica Slovenica*. 2010;57:222.
20. Kaur H, Agrawal Y.K. Functionalization of XAD-4 resin for the separation of lanthanides using chelation ion exchange liquid chromatography. *Reactive and Functional Polymers*. 2005;65:277.
21. Çekici S.D, Filik H, Apak R. Use of an o-aminobenzoic acid-functionalized XAD-4 copolymer resin for the separation and preconcentration of heavy metal (II) ions. *Analytica Chimica Acta*. 2004;505:15.
22. Hosseini-Bandegharaei A, Allahabadi A, Rahmani-Sani A, Rastegar A, Khamirchi R.A, Mehrpouyan M, Hekmat-Shoar R, Pajohankia Z. Thorium removal from weakly acidic solutions using titan yellow-impregnated XAD-7 resin beads: kinetics, equilibrium and thermodynamic studies. *Journal of Radioanalytical and Nuclear Chemistry*. 2016;309:761.
23. Hosseini S.H, Rahmani-Sani A, Jalalabadi Y, Karimzadeh M, Hosseini-Bandegharaei A, Kharghani K, Allahabadi A. Preconcentration and determination of ultra-trace amounts of U (VI) and Th (IV) using titan yellow-impregnated Amberlite XAD-7 resin. *International Journal of Environmental Analytical Chemistry*. 2015;95:277.
24. El-Sofany E.A. Recovery and Separation of Cu (II) and Cd (II) from Nitrate Medium using Impregnated Resin, CYANEX-301/Amberlite XAD-7. *Arab Journal of Nuclear Sciences and Applications*. 2004;37:111.
25. Lee W, Lee S.E, Lee C.H, Kim Y.S, Lee Y.I. A chelating resin containing 1-(2-thiazolylazo)-2-naphthol as the functional group; synthesis and sorption behavior for trace metal ions. *Microchemical Journal*. 2001;70:195.



26. Tokalioglu S, Büyükbash H, Karta S. Preconcentration of trace elements by using 1-(2-pyridylazo)-2-naphthol functionalized Amberlite XAD-1180 resin and their determination by FAAS. *Journal of the Brazilian Chemical Society*. 2006;17:98.
27. Kumar M, Rathore D.P.S, Singh A.K. Metal ion enrichment with Amberlite XAD-2 functionalized with Tiron: analytical applications. *Analyst*. 2000;125:1221.
28. Kumar M, Rathore D.P.S., Singh A.K. Quinalizarin anchored on Amberlite XAD-2. A new matrix for solid-phase extraction of metal ions for flame atomic absorption spectrometric determination. *Fresenius' Journal of Analytical Chemistry*. 2001;370:377.
29. Metilda P, Sanghamitra K, Mary Gladis J, Naidu G.R.K., Prasada Rao T. Amberlite XAD-4 functionalized with succinic acid for the solid phase extractive preconcentration and separation of uranium (VI). *Talanta*. 2005;65:192.
30. Ozdemir S, Kilinc E. Geobacillus thermoleovorans immobilized on Amberlite XAD-4 resin as a biosorbent for solid phase extraction of uranium (VI) prior to its spectrophotometric determination. *Microchimica Acta*. 2012;178:389.
31. Fouad H, Abu Elenein, Orabi A, Abdelmoteleb S. A new extractant impregnated resin for separation of traces of uranium and thorium followed by their spectrophotometric determination in some geological samples. *SN Applied Sciences*. 2019;1:309.
32. Rafati H, Noparast M, Khanchi A.R. Selective Sorption of La (III) and Ce (III) from Simulated Solution Containing Metal Ions Using Amberlite XAD-4 Resin Impregnated with Cyanex 302. *Iranian Journal of Mining Engineering*. 2007;1:23 [In Persian].
33. Çimen A, Torun M, Bilgic A. Immobilization of 4-amino-2-hydroxyacetophenone onto silica gel surface and sorption studies of Cu (II), Ni (II), and Co (II) ions. *Desalination and Water Treatment*. 2015;53:2106.
34. Wang Q, Gao W, Liu Y, Yuan J, Zhijun X, Zeng Q, Li Y, Schröder M. Simultaneous adsorption of Cu (II) and SO<sub>4</sub><sup>2-</sup> ions by a novel silica gel functionalized with a ditopic zwitterionic Schiff base ligand. *Chemical Engineering Journal*. 2014;250:55.
35. Radi S, Basbas N, Tighadouini S, Bacquet M, Degoutin S, Cazier F. New amine-modified silica: Synthesis, characterisation and its use in the Cu (II)-Removal from aqueous solutions. *Progress in Nanotechnology and Nanomaterials*. 2013;2:108.
36. Ghaedi M, Sharifpour E. Chemically modified nano silica gel with 2-((3silylpropylimino) methyl)-2-hydroxy-1-naphthol (SPIMHN) as good and efficient adsorbent for solid phase extraction. *Desalination and Water Treatment*. 2012;41:315.
37. Fathi S.A.M, Parinejad M, Yaftian M.R. Multidentate nitrogen/oxygen donor ionophores; their use as selective extracting and mobile-carrier agents for copper (II) ions. *Separation and Purification Technology*. 2008;64:1.
38. Shiri-Yekta Z, Yaftian M.R. Anion control selectivity of neutral N4-type schiff base extractants towards transition metal ions. *Iranian Journal of Chemistry and Chemical Engineering*. 2010;29:11.
39. Fathy M, Moghny Th.A, Allah A.E.A, Alblehy A.E. Cation exchange resin nanocomposites based on multi-walled carbon nanotubes. *Applied Nanoscience*. 2014;4:103.
40. Ahmadi S.J, Akbari N, Shiri-Yekta Z, Mashhadizadeh M.H, Pourmatin A. Adsorption of strontium ions from aqueous solution using hydrous, amorphous MnO<sub>2</sub>-ZrO<sub>2</sub> composite: a new inorganic ion exchanger. *Journal of Radioanalytical and Nuclear Chemistry*. 2014;299:1701.
41. Taheri M, Khajenoori M, Shiri-Yekta Z, Zahakifar F. Application of Plantain leaves as a bio-adsorbent for biosorption of U(VI) ions from wastewater. *Radiochim. Acta*. 2023. doi.org/10.1515/ract-2022-0109.
42. Tajer-Mohammad-Ghazvini P, Kasra-Kermanshahi R, Nozad-Golikand A, Sadeghizadeh M, Ghorbanzadeh-Mashkani S, Dabbagh R. Cobalt separation by Alphaproteobacterium MTB-KTN90: magnetotactic bacteria in bioremediation. *Bioprocess and Biosystems Engineering*. 2016;39:1899.
43. Mahmoud M.E, Nabil G.M, Mahmoud S.M.E. High performance nano-zirconium silicate adsorbent for efficient removal of copper (II), cadmium (II) and lead (II). *Journal of Chemical Engineering & Process Technology*. 2013;4:1.
44. Li X, Li F, Jin Y, Jiang C. The uptake of uranium by tea wastes investigated by batch, spectroscopic and modeling techniques. *Journal of Molecular Liquids*. 2015;209:413.
45. Deshmukh P, Sar S.K, Ghosh P.K. Efficient exclusion of uranyl ion from aqueous medium by a novel magnetic bio adsorbent (Phyllanthus emblica bark). *Groundwater for Sustainable Development*. 2021;14:100625.
46. Taheri M, Khajenoori M, Shiri-Yekta Z, Zahakifar F. Study of biosorption of uranyl from aqueous solution by tea waste using RSM method. *Journal of Nuclear Science and Technology*. 2023. Article in Press [In Persian].
47. Sabanovic E, Muhic-Sarac T, Nuhanovic M, Memic M. Biosorption of uranium(VI) from aqueous solution by Citrus limon peels: kinetics, equilibrium and batch studies. *Journal of Radioanalytical and Nuclear Chemistry*. 2019;319:425.
48. Aly Z, Luca V. Uranium extraction from aqueous solution using dried and pyrolyzed tea and coffee wastes. *Journal of Radioanalytical and Nuclear Chemistry*. 2013;295:889.

**COPYRIGHTS**

©2021 The author(s). This is an open access article distributed under the terms of the Creative Commons Attribution (CC BY 4.0), which permits unrestricted use, distribution, and reproduction in any medium, as long as the original authors and source are cited. No permission is required from the authors or the publishers.



استناد به این مقاله

شیری یکتا، زهراء. (۱۴۰۳)، بررسی رفتار جذبی یون اورانیم از محلول آبی بر روی رزین ... XAD-4 آگسته شده با عامل کمپلکس‌کننده اسیدی. *مجله علوم و فنون هسته‌ای*، ۱۰۸-۱۱۵، ۱۲۴-۱۱۵. (۲). Url: [https://jonsat.nstri.ir/article\\_1587.html](https://jonsat.nstri.ir/article_1587.html) DOI: <https://doi.org/10.24200/nst.2024.1587>

